

УДК 532.516

П.Н. КОНОН, канд. физ.-мат. наук; А.В. ЖУК

Белорусский государственный университет, г. Минск

## НАПРЯЖЕНИЯ НА ВНЕШНЕЙ И ВНУТРЕННЕЙ ПОВЕРХНОСТИ ВРАЩАЮЩЕЙСЯ ЦИЛИНДРИЧЕСКОЙ ОБОЛОЧКИ, ЧАСТИЧНО ЗАПОЛНЕННОЙ ЖИДКОСТЬЮ

*Рассмотрены движения слоя вязкой жидкости на внутренней и внешней поверхности вращающейся цилиндрической оболочки в поле сил инерции, поверхностного натяжения и тяжести. Получены уравнения эволюции свободной границы слоя. На основе решения нестационарной гидродинамической задачи найдено давление на поверхности вращающейся цилиндрической оболочки.*

**Ключевые слова:** вязкая жидкость, уравнения эволюции, вращающаяся цилиндрическая оболочка, свободная поверхность слоя

**Введение.** В энергетической, химической, металлургической, строительной, пищевой отраслях народнохозяйственного комплекса находят широкое применение процессы, использующие движение слоя жидкости на внешней и внутренней поверхности вращающегося цилиндра. Например, производство теплоизоляционной ваты и металлических волокон центробежно-валковым методом состоит в разрушении слоя формирующегося на поверхности быстро вращающегося цилиндра при попадании на нее расплава минерала [4]. Процессы производства жидкого бетона в строительстве состоят в разрушении слоя, формирующегося на внутренней поверхности достаточно медленно вращающегося цилиндра, а при нанесении слоя клея на бумагу, в производстве изделий из стекла, покраске изнутри предметов цилиндрической формы необходимо более быстрое вращение, чтобы добиться полнейшего отсутствия неровностей. При этом форма слоя существенным образом зависит от соотношения внешнего давления и напряжения на поверхности цилиндрической оболочки.

**Постановка задачи.** Рассматривается плоское течение слоя вязкой жидкости на внешней (внешняя задача) и внутренней (внутренняя задача) поверхностях вращающейся с постоянной угловой скоростью цилиндрической оболочки с учетом сил инерции поверхностного натяжения и тяжести и определяются усилия на поверхности цилиндра. Известны работы Х. Моффата [2] и В.В. Пухначева [3], в которых были получены уравнения эволюции плоской тонкой пленки жидкости при достаточно медленном вращении цилиндра без учета инерционных сил. В работах [5, 6, 8] рассмотрены равновесные относительно вращающегося цилиндра слои жидкости и впервые показано, что ветвление стационарных решений, а вместе с тем и вид свободной поверхности, зависит от перепада давления в слое на поверхности оболочки и внешнего давления.

Плоское течение вязкой жидкости в слое удобно рассматривать в относительной полярной сис-

теме координат  $O, \eta, \varphi$ , жестко связанной с вращающимся цилиндром. Движение описывается уравнениями Навье–Стокса, неразрывности и неизвестной свободной поверхности. Они дополняются граничными условиями прилипания к твердой поверхности цилиндра  $\eta = 1$ , отсутствием вязкого взаимодействия с окружающей средой и непрерывностью нормальных напряжений на свободной поверхности  $\eta = h(\varphi, \tau)$ , условием периодичности течения по угловой координате, а также начальными условиями [1, 7]. Начально-краевая задача содержит три безразмерных параметра — числа Рейнольдса, Фруда и Вебера:  $Re = R_0^2 \omega_0 / \nu$ ,  $Fr = R \omega_0^2 / g$ ,  $We = \rho R_0^3 \omega_0^2 / \sigma$ , где  $R_0$  — радиус цилиндра;  $\omega_0$  — угловая скорость его вращения;  $\rho$  — плотность жидкости;  $\nu$  — коэффициент кинематической вязкости;  $g$  — ускорение силы тяжести;  $\sigma$  — коэффициент поверхностного натяжения жидкости.

В случае достаточно быстрого вращения цилиндра значения  $Re = \varepsilon^{-1} \gg 1$ ,  $Fr \gg 1$ ,  $We \gg 1$ . При этом относительное изменение течения жидкости в трансверсальном направлении существенно меньше, чем в радиальном, а радиальная составляющая скорости много меньше трансверсальной, т. е.  $Re^{-1} \sim \varepsilon$ ,  $Fr^{-1} \sim \varepsilon$ ,  $We^{-1} \sim \varepsilon$ ,  $\omega_\varphi \sim \varepsilon$ ,  $\omega_\tau \sim \varepsilon$ ,  $\omega_\eta \sim 1$ ,  $v \sim \varepsilon$ ,  $\omega \sim 1$ ,  $h \sim 1$ . Это позволяет получить следующую систему с граничными и начальными условиями

$$p_\eta = (1 + \omega)^2 \eta, \quad (1)$$

$$\eta^2 (\omega_\tau + v \omega_\eta + \omega \omega_\varphi) + 2\eta v (\omega + 1) =$$

$$(\eta v)_\eta + (\eta \omega)_\varphi = 0, \quad (3)$$

$$\eta = h(\varphi, \tau), \quad h_\tau + \omega h_\varphi = v, \quad (4)$$

$$\eta = h(\varphi, \tau), \quad (-1)^n \frac{1}{We} \left( \frac{1}{h} - \frac{h_{\varphi\varphi}}{h^2} + \frac{2h_\varphi^2}{h^3} \right) = p - p_a, \quad \omega_\eta = 0, \quad (5)$$

$$\eta = 1, \quad v = 0, \quad \omega = 0, \quad (6)$$

$$h(\varphi, \tau) = h(\varphi + 2\pi, \tau), \quad \omega(\varphi, \tau) = \omega(\varphi + 2\pi, \tau), \quad (7)$$

$$v(\varphi, \tau) = v(\varphi + 2\pi, \tau), \quad p(\varphi, \tau) = p(\varphi + 2\pi, \tau);$$

$$\tau = 0, \quad h = h_0(\varphi), \quad v = v_0(\eta, \varphi), \quad \omega = \omega_0(\eta, \varphi), \quad (8)$$

здесь и далее нижний индекс обозначает частную производную по указанной переменной. В формулах (1)–(7) и ниже  $\omega = w/y - 1$  — относительная угловая скорость слоя;  $w, v$  — соответственно окружная скорость и радиальная компоненты скорости;  $p$  — давление в жидкости. Значение  $n = 1$  в формуле (5) соответствует слою на внутренней, а  $n = 2$  — на внешней поверхности цилиндра. Кроме того для внутренней задачи толщина слоя  $h(\varphi, \tau) < 1$ , а для внешней  $-h(\varphi, \tau) > 1$ .

**Вывод уравнений эволюции поверхности.** Уравнения (1)–(4) вместе с граничными и начальными условиями (5)–(8) образуют замкнутую систему для определения  $v(\eta, \varphi, \tau)$ ,  $\omega(\eta, \varphi, \tau)$ ,  $p(\eta, \varphi, \tau)$ ,  $h(\varphi, \tau)$ . Ее особое отличие от уравнений пограничного слоя состоит в том, что давление в жидкости  $p$  переменное поперек слоя, неизвестно и должно определяться в процессе решения.

В [7] рассмотрена внешняя плоская задача о движении и распаде слоя на внешней поверхности вращающегося цилиндра при значительном влиянии инерционных сил. Получена и решена система уравнений эволюции. Проведено исследование развития и распада слоя в зависимости от времени. По виду поверхности слоя можно найти давление в слое и на поверхности цилиндра. Анализ напряженного состояния в слое позволяет заключить, что на поверхности цилиндрической оболочки действуют только нормальные напряжения, численно равные давлению в жидкости при  $\eta = 1$ .

В данной работе исследуем давление слоя на внутреннюю поверхность вращающейся цилиндрической оболочки. С этой целью решим гидродинамическую задачу, исследуем движение слоя и эволюцию его поверхности.

Для решения задачи (1)–(8) воспользуемся прямым методом. Проинтегрируем уравнения (1)–(3) по толщине слоя от  $\eta = 1$  до  $\eta = \eta(\varphi, \tau) < 1$ . Получим соотношения

$$p(\eta, \varphi, \tau) = p(1, \varphi, \tau) + \int_1^\eta (1 + \omega)^2 d\eta; \quad (9)$$

$$\begin{aligned} \frac{\partial}{\partial \tau} \int_h^1 \eta^2 \omega d\eta + \frac{\partial}{\partial \varphi} \int_h^1 \eta^2 \omega^2 d\eta + 2 \int_h^1 \eta v d\eta + \int_h^1 \eta v \omega d\eta = \\ = - \frac{\partial}{\partial \varphi} \int_h^1 p d\eta - p|_{\eta=h} \frac{\partial h}{\partial \varphi} + \frac{h^2 - 1}{2Fr} \cos(\varphi + \tau) + \\ + Re^{-1} \left[ \frac{\partial \omega}{\partial \eta} \Big|_{\eta=1} - h \omega \Big|_{\eta=h} - \int_h^1 \omega d\eta \right]; \end{aligned} \quad (10)$$

$$\eta v = \int_\eta^1 \frac{\partial}{\partial \varphi} (\eta \omega) d\eta. \quad (11)$$

С помощью замены переменной область течения  $h(\varphi, \tau) \leq \eta \leq 1$ ,  $0 \leq \varphi \leq 2\pi$  преобразуем в круг:

$$\zeta = \frac{1 - \eta}{\delta(\varphi, \tau)}, \quad 0 \leq \zeta \leq 1; \quad \delta(\varphi, \tau) = 1 - h(\varphi, \tau), \quad (12)$$

причем  $\zeta = 0$  соответствует поверхности цилиндра  $\eta = 1$ , а  $\zeta = 1$  — свободной поверхности слоя

$\eta = h(\varphi, \tau)$ . При этом интегральное соотношение (10) преобразуется к виду

$$\begin{aligned} \frac{\partial}{\partial \tau} \int_1^0 (1 - \delta \zeta)^2 (-\delta \omega) d\zeta + \frac{\partial}{\partial \varphi} \int_1^0 (1 - \delta \zeta)^2 (-\delta \omega^2) d\zeta + \\ + 2 \int_1^0 (1 - \delta \zeta) (-\delta v) d\zeta + \int_1^0 (1 - \delta \zeta) (-\delta v \omega) d\zeta + \\ + \left( \frac{\partial}{\partial \varphi} \int_1^0 (-\delta p) d\zeta - p|_{\zeta=1} \cdot \frac{\partial \delta}{\partial \varphi} \right) = \frac{\cos(\varphi + \tau)}{2Fr} \delta(\delta - 2) + \\ + \frac{1}{Re} \left[ - \frac{1}{\delta} \frac{\partial \omega}{\partial \zeta} \Big|_{\zeta=0} - (1 - \delta) \omega \Big|_{\zeta=1} + \int_1^0 \delta \omega d\zeta \right]. \end{aligned} \quad (13)$$

Используем один шаг прямого метода [1]. Предположим, что зависимость относительной угловой скорости  $\omega$  от переменной  $\zeta$  имеет квадратичный вид, удовлетворяющий граничным условиям (5), (6):

$$\omega(\zeta, \varphi, \tau) = -T(\varphi, \tau) \zeta \left( 1 - \frac{1}{2} \zeta \right), \quad (14)$$

где  $T(\varphi, \tau)$  — периодическая по  $\varphi$  функция, подлежащая определению.

Подстановка (14) в соотношение (11) позволяет получить формулу для радиальной компоненты скорости  $v(\zeta, \varphi, \tau)$

$$\eta v = (1 - \delta \zeta) v = \sum_{n=2}^4 A_n(T, \delta, T_\varphi, \delta_\varphi) \zeta^n, \quad (15)$$

$$A_2 = \frac{1}{2} (T \delta_\varphi - \delta T_\varphi);$$

$$A_3 = \frac{1}{3} \left( \frac{1}{2} \delta (2\delta + 1) T_\varphi - (1 + \delta) T \delta_\varphi \right);$$

$$A_4 = \frac{1}{4} \left( \delta T \delta_\varphi - \frac{1}{2} \delta^2 T_\varphi \right).$$

Из соотношения (9) можно вывести формулу для распределения давления в слое

$$p(\zeta, \varphi, \tau) = p(1, \varphi, \tau) + \sum_{n=1}^6 b_n(\delta, T) (\zeta^n - 1), \quad (16)$$

$$b_1 = -\delta; \quad b_2 = \frac{\delta^2}{2} + T\delta; \quad b_3 = -\frac{1}{3} (T\delta(1 + 2\delta) + T^2\delta);$$

$$b_4 = \frac{1}{4} (T^2\delta(1 + \delta) + \delta^2 T); \quad b_5 = -\frac{1}{20} T^2\delta(1 + 4\delta);$$

$$b_6 = \frac{1}{24} T^2\delta^2.$$

С учетом (14), (15) получим первое уравнение эволюции свободной поверхности

$$\delta_\tau = H(\delta) T_\varphi + R(\delta, T) \delta_\varphi, \quad (17)$$

$$H(\delta) = \frac{\delta(5\delta - 8)}{24(\delta - 1)}; \quad R(\delta, T) = \frac{T(5\delta - 4)}{12(\delta - 1)}.$$

Второе уравнение эволюции получим из интегрального соотношения (13), которое с помощью (14)–(16) преобразуется к виду

$$T_\tau = U\delta_\varphi + VT_\varphi + \frac{1}{We} \frac{60}{(1-\delta)^4 E_0(\delta)} \times \\ \times (6\delta_\varphi^3 + 6(1-\delta)\delta_\varphi\delta_{\varphi\varphi} + (1-\delta)^2(\delta_\varphi + \delta_{\varphi\varphi})) + \\ + \frac{1}{Fr} \frac{30(\delta-2)\cos(\varphi+\tau)}{E_0(\delta)} + \frac{1}{Re} \frac{10T}{\delta^2 E_0(\delta)} (6+3\delta-\delta^2), \quad (18)$$

где

$$U(\delta, T) = T^2 U_2(\delta) + T U_1(\delta) + U_0(\delta); \\ V(\delta, T) = T V_1(\delta) + V_0(\delta); \\ U_2(\delta) = \frac{1}{\delta E_0(\delta)} \left( \frac{1}{42} (-336 + 553\delta - 38\delta^2) + \right. \\ \left. + \frac{5\delta-4}{12(\delta-1)} (20-50\delta+27\delta^2) \right); \\ U_1(\delta) = \frac{40-50\delta}{E_0(\delta)}; \quad U_0(\delta) = \frac{60(\delta-1)}{E_0(\delta)}; \\ V_1(\delta) = \frac{1}{E_0(\delta)} \left( \frac{1}{21} (-336 + 161\delta + 34\delta^2) + \right. \\ \left. + \frac{5\delta-8}{24(\delta-1)} (20-50\delta+27\delta^2) \right); \\ V_0(\delta) = \frac{\delta(40-25\delta)}{E_0(\delta)}; \quad E_0(\delta) = -20 + 25\delta - 9\delta^2.$$

Уравнения (2.34), (2.35) дополняются условиями периодичности по угловой координате, а также периодическими начальными условиями

$$\delta(\varphi, \tau) = \delta(\varphi + 2\pi, \tau); \quad \delta_\varphi(\varphi, \tau) = \delta_\varphi(\varphi + 2\pi, \tau); \\ \delta_{\varphi\varphi}(\varphi, \tau) = \delta_{\varphi\varphi}(\varphi + 2\pi, \tau); \quad \delta_{\varphi\varphi\varphi}(\varphi, \tau) = \delta_{\varphi\varphi\varphi}(\varphi + 2\pi, \tau); \\ T(\varphi, \tau) = T(\varphi + 2\pi, \tau); \quad \delta(\varphi, 0) = \delta_0(\varphi); \\ T(\varphi, 0) = T_0(\varphi). \quad (19)$$

Система нелинейных уравнений (17), (18) в частных производных с граничными и начальными условиями (18), (19) является замкнутой и служит для определения эволюции свободной поверхности слоя  $\delta(\varphi, \tau)$ .

**Численный метод.** Численный метод решения начально-краевой задачи (17)–(19) основан на методе прямых, когда область течения разбивается  $N$  лучами. Затем производные по  $\varphi$  на опорных лучах представляются конечно-разностными соотношениями [7], что позволяет свести уравнения эволюции к системе  $2N$  обыкновенных дифференциальных уравнений вида

$$\frac{dT_n}{d\tau} = f_1[\tau, \delta_n, (\delta_\varphi)_n, (\delta_{\varphi\varphi})_n, (\delta_{\varphi\varphi\varphi})_n, T_n, (T_\varphi)_n]; \\ \frac{d\delta_n}{d\tau} = f_2[\tau, \delta_n, (\delta_\varphi)_n, T_n, (T_\varphi)_n], \quad (20)$$

где функции  $f_1$  и  $f_2$  представляют правые части (18) и (17) после дискретизации по  $\varphi$ . Условия (19) требуют выполнения равенств

$$\delta_n(\tau) = \delta_{N+n}(\tau); \quad T_n(\tau) = T_{N+n}(\tau); \quad (21)$$

$$\delta_n(0) = \delta_n^0; \quad T_n(0) = T_n^0. \quad (22)$$

Интегрирование системы  $2N$  обыкновенных дифференциальных уравнений (20) с дополнительными условиями (21), (22) производится методом Рунге–Кутты с постоянным шагом по формулам четвертого порядка точности. Значение  $N$  варьировалось и составляло 180, 360, 720, а шаг интегрирования по времени  $\Delta\tau$  изменялся от  $\pi/200$  до  $\pi/2000$ . При определении функций  $f_1$  и  $f_2$  использовались значения производных по  $\varphi$  в предшествующий момент времени  $\tau - \Delta\tau$ . Точность вычислений контролировалась условием сохранения массы жидкости в слое

$$M = \frac{1}{2} \int_0^{2\pi} (1-h^2(\varphi, \tau)) d\varphi = const.$$

Вычисления прерывались по условию, что абсолютный максимум толщины слоя достигает трех его максимальных значений в начальный момент. Соответствующее значение времени считается моментом распада слоя  $\tau_p$ . По найденной поверхности слоя определялось давление в жидкости и на поверхности цилиндрической оболочки по формуле (16) с учетом (5).

**Результаты расчетов и их анализ.** Исследуем изменение давления на поверхности цилиндрической оболочки для внутренней задачи. Численное решение проводилось при следующих данных: жидкость — водные растворы глицерина с плотностью  $1260 \text{ кг/м}^3$ , кинематической вязкостью  $1,11 \cdot 10^{-3} \text{ м}^2/\text{сек}$ , коэффициентом поверхностного натяжения  $0,07 \text{ н/м}$  при температуре  $20^\circ \text{ С}$ . Радиусы цилиндра при расчетах принимались равными 2,5 см, 3,5 см, 5 см, 10 см, а угловые скорости его вращения — от 3 об/с и выше. При этих параметрах значения  $Re \gg 1$ ,  $Fr \gg 1$ ,  $We \gg 1$ .

Предполагается, что в начальный момент  $\tau = 0$  слой и цилиндр вращаются как единое целое, и слой имеет постоянную толщину:  $\delta^0(\varphi) = \delta^0$ ,  $T^0(\varphi) = 0$ .

Для лучшей наглядности все результаты расчетов приведены в неподвижной системе координат  $y = \eta$ ,  $\theta = \varphi - \tau$ .

На рисунке 1 представлены: вид свободной поверхности слоя, перепад давлений на поверхности цилиндрической оболочки и внешнего атмосферного  $Eu = p_1 - p_a$ , радиальная компонента скорости и относительная угловая скорость точек

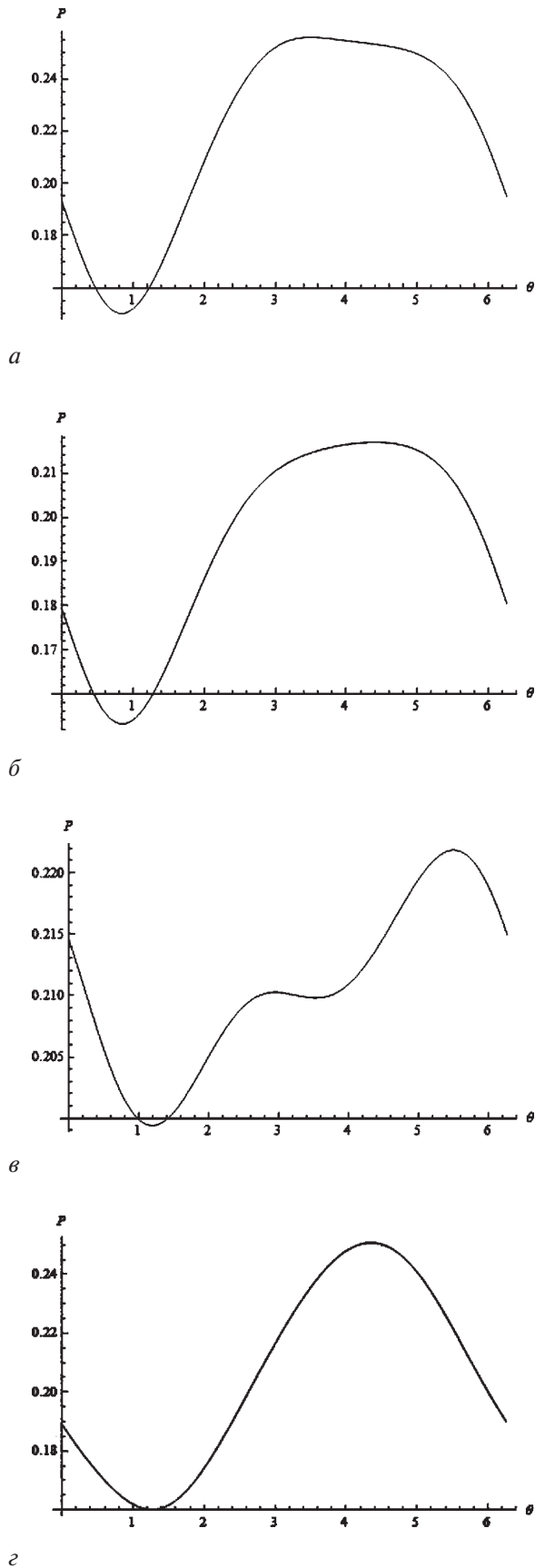


Рисунок 1 — Характеристики течения слоя на внутренней поверхности вращающейся цилиндрической оболочки при  $Re = 70,7$ ;  $Fr = 10,0$ ;  $We = 2218,4$ ;  $\delta_0 = 0,3$  в момент времени  $\tau = 3,14$ : а — вид поверхности слоя; б — нормальное давление; в — радиальная компонента скорости; г — отклонение окружной скорости от жесткого вращения

слоя при  $Re = 282,8$ ;  $Fr = 10,0$ ;  $We = 17747$ ;  $\delta_0 = 0,3$  в момент времени  $\tau = 3,14$ . Давление жидкости на поверхности цилиндра определено по формуле (16) при  $\zeta = 0$ . Видно, что слой деформирован вследствие действия силы тяжести и утолщен при подъеме жидкости, что видно в левой части рисунка. В точках наибольшего и наименьшего утолщения слоя наблюдается максимальное по величине отклонение угловой скорости от случая жесткого вращения. В этих же точках радиальная компонента скорости близка к нулю. Наибольшее по величине нормальное давление на поверхности цилиндра наблюдается в точках минимальной толщины слоя вследствие максимального действия центробежных сил при углах  $\theta$  от  $\pi$  до  $3\pi/2$ . Минимальное давление жидкость оказывает на цилиндр в точках подъема слоя при вращении оболочки против часовой стрелки при  $\theta$  от  $\pi$  до  $\pi/2$ . Отметим, что давление принимает отрицательные значения, что обусловлено направлением нормали в слое жидкости к поверхности оболочки. Другие результаты численных расчетов показаны на рисунках 2–4.

В работе [7] рассмотрена задача движения и распада слоя на внешней поверхности вращающегося цилиндра. Рассмотрим действие слоя вязкой жидкости на поверхность цилиндра.

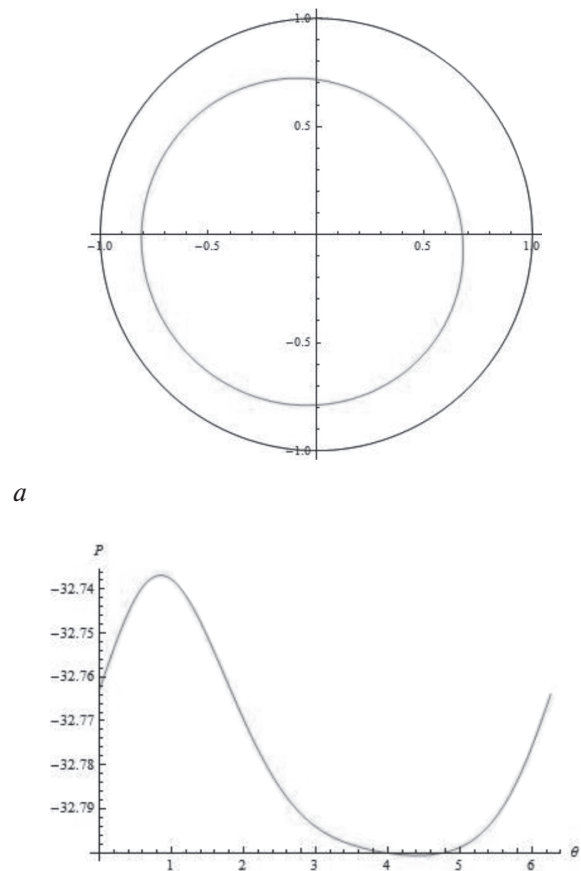


Рисунок 2 — Вид поверхности слоя и нормальное давление при  $Re = 70,7$ ;  $Fr = 10,0$ ;  $We = 2218,4$ ;  $\delta_0 = 0,25$  в момент времени  $\tau = 3,14$

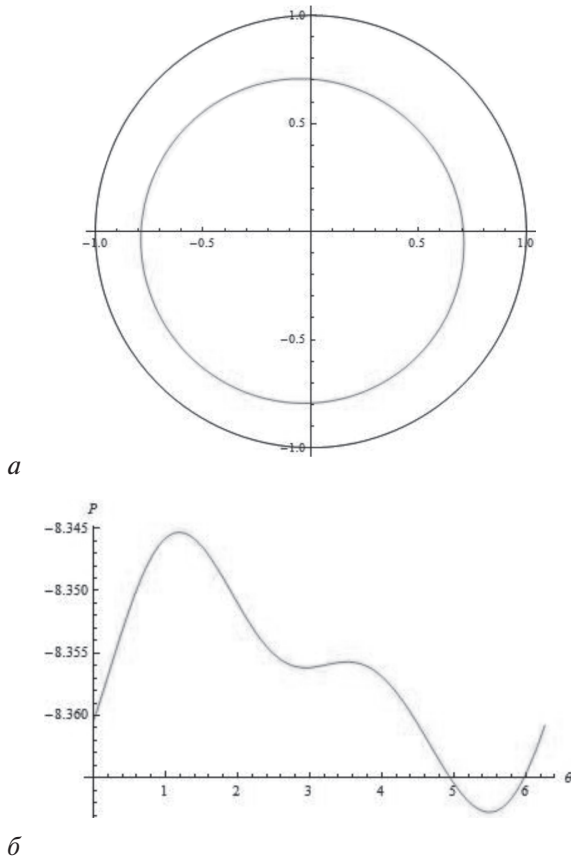


Рисунок 3 — Вид поверхности слоя и нормальное давление при  $Re = 282,8$ ;  $Fr = 10,0$ ;  $We = 17747$ ;  $\delta_0 = 0,25$  в момент времени  $\tau = 3,14$

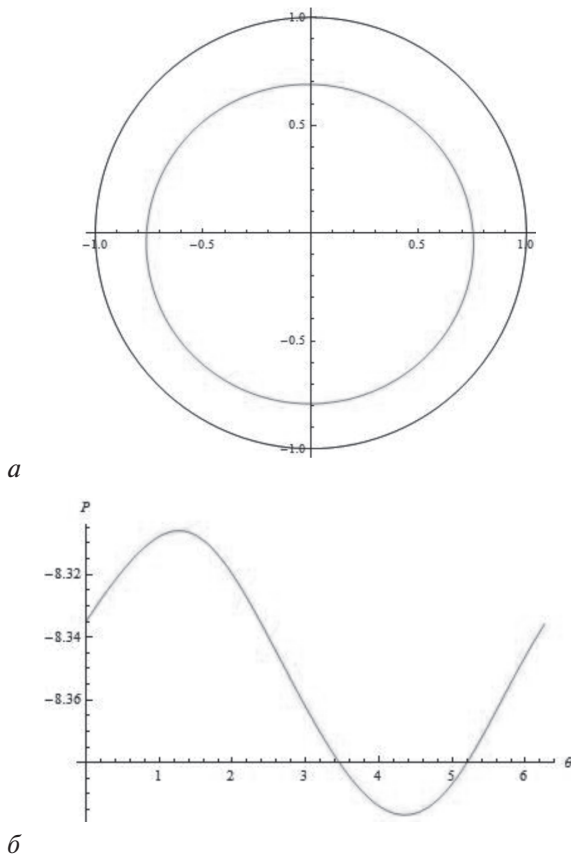


Рисунок 4 — Вид поверхности слоя и нормальное давление при  $Re = 282,8$ ;  $Fr = 10,0$ ;  $We = 17747$ ;  $\delta_0 = 0,25$  в момент времени  $\tau = 4,71$

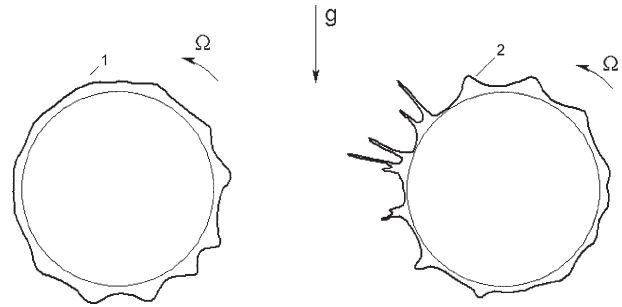


Рисунок 5 — Форма свободной поверхности слоя на вращающемся цилиндре при  $\delta_0 = 0,1$ ;  $Re = 17,7$ ;  $Fr = 2,52$ ;  $We = 277,6$  в моменты времени: 1 —  $\tau = 9\pi$ ; 2 —  $\tau = \tau_p = 31,53$

Сначала проследим за эволюцией формы свободной поверхности слоя, первоначально имеющего постоянную толщину  $\delta^0 = \text{const}$ . На рисунке 5 показана форма свободной поверхности слоя при  $\delta^0 = 0,10$ ;  $Re = 17,7$ ;  $Fr = 2,52$ ;  $We = 277,6$ ; линии 1 соответствует время  $\tau = 9\pi$ ; линии 2 — момент распада слоя  $\tau = \tau_p = 31,53$ . Вначале наиболее значительно проявляется влияние силы тяжести, когда на свободной поверхности слоя появляется по одной точке с минимальным и максимальным значением толщины. Затем развиваются другие возмущения малой амплитуды, расположенные равномерно по поверхности цилиндра. С течением времени под действием инерционных сил, нелинейного взаимодействия возмущений число локальных экстремумов и максимальные значения радиуса свободной поверхности увеличиваются (линия 1). Затем нарушается равномерность их размещения, отдельные максимумы еще возрастают. При этом происходит перестройка всего течения, сильно изменяются его кинематические характеристики, в определенных местах вытягиваются струйки жидкости в виде тонких нитей, и слой теряет устойчивость (линия 2). Описанное поведение слоя подтверждается проведенными экспериментами [4].

С развитием возмущений по угловой координате сильно изменяются кинематические и динамические характеристики течения. На рисунке 6 изображены графики изменения перепада давлений

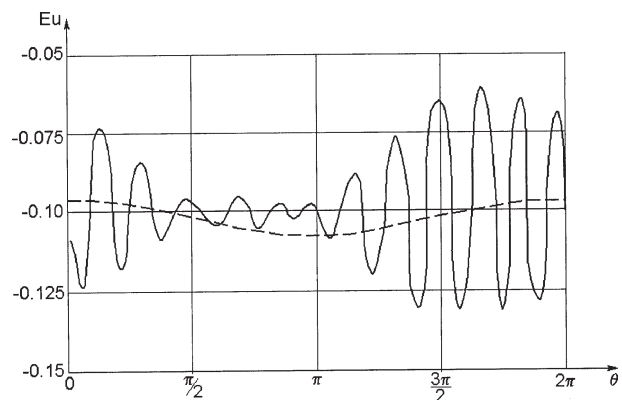


Рисунок 6 — Зависимость перепада давлений  $Eu$  от угла  $\theta$  в точках свободной поверхности в моменты времени  $\tau = 2\pi$  (штриховая линия) и  $\tau = 9\pi$  (сплошная линия)

ний в слое на поверхности цилиндра и окружающей среде  $E_u = p_0 - p_a$  в зависимости от угла  $\theta$ . Сплошная линия соответствует времени  $\tau = 9\pi$ , когда возмущения сильно развиты. В этом случае изображенные зависимости имеют множество ярко выраженных экстремумов. Их количество соответствует числу экстремумов свободной поверхности. В точках максимума свободной поверхности перепад давлений  $E_u$  наименьший, а в точках минимума — наибольший.

**Выводы.** Рассмотрена задача движения слоя вязкой жидкости на внутренней и внешней поверхности вращающейся цилиндрической оболочки. В случае достаточно быстрого вращения цилиндра выведены уравнения эволюции свободной границы слоя. Построен алгоритм численного решения задачи. На основе решения нестационарной гидродинамической задачи с неизвестной границей области течения найдено давление на поверхности вращающейся цилиндрической оболочки для внутреннего и внешнего движения слоя.

## Список литературы

1. Шкадов, В.Я. Некоторые методы и задачи теории гидродинамической устойчивости / В.Я. Шкадов // Ин-т механики МГУ. Науч. тр. — М., 1973. — Вып. 25. — 192 с.
2. Moffat, H.K. Behavior of a viscous film on the outer surface of rotating cylinder / H.K. Moffat // Journal de Mécanique. — 1977. — Vol. 16, No 8. — Pp. 651–673.
3. Пухначев, В.В. Движение жидкой пленки на поверхности вращающегося цилиндра в поле тяжести / В.В. Пухначев // ПМТФ. — 1977. — № 3. — С. 78–88.
4. Экспериментальное и теоретическое исследование слоя жидкости на вращающемся цилиндре / А.Е. Кулаго [и др.] // Сб. трудов ВНИПИ Теплопроект. — М., 1981. — С. 76–81.
5. Епихин, В.Е. О форме осесимметричного слоя жидкости на поверхности вращающегося цилиндра / В.Е. Епихин, П.Н. Конон, В.Я. Шкадов // Изв. АН СССР, МЖГ. — 1989. — № 4. — С. 23–27.
6. Епихин, В.Е. О форме жидкого слоя постоянной массы на поверхности вращающегося цилиндра / В.Е. Епихин, П.Н. Конон, В.Я. Шкадов // ИФЖ. — 1990. — Т. 59, № 1. — С. 80–84.
7. Епихин, В.Е. О возмущенном движении слоя вязкой жидкости на поверхности вращающегося цилиндра / В.Е. Епихин, П.Н. Конон, В.Я. Шкадов // ИФЖ. — 1994. — Т. 66, № 6. — С. 689–694.
8. Конон, П.Н. Исследования плоских и осесимметричных слоев жидкости, неподвижных относительно внутренней поверхности вращающегося цилиндра / П.Н. Конон, В.В. Шпортько // Вестн. БРФФИ-2011. — № 3. — С. 98–110.

---

Konon P.N., Zhuk A.V.

### **Tension on the external and internal surface of the rotating cylindrical cover partially the filled liquid**

It is considered movements of a layer of viscous liquid on an internal and external surface of a rotating cylindrical cover in the field of forces of inertia, a superficial tension and weight. The equations of evolution of free border of a layer are received. On the basis of the solution of a non-stationary hydrodynamic task pressure upon surfaces of a rotating cylindrical cover is found.

**Keywords:** viscous liquid, equations of evolution, rotating cylindrical cover, free border of a layer

Поступила в редакцию 31.10.2013.